



دانشگاه گنبد کاووس

نشریه "پژوهش‌های ماهی‌شناسی کاربردی"

دوره هفتم، شماره اول، بهار

۹۸

<http://jair.gonbad.ac.ir>

## مقایسه لایه‌بندی شبکیه چشم در جنین، لارو و بالغ شاه‌کولی *Alburnus chalcoides* (Güldenstädt, 1772)

نیلوفر حقی<sup>۱</sup>، نادر شعبانی پور<sup>۲\*</sup>

<sup>۱</sup>دانشجوی دکتری زیست‌شناسی دریا، گروه زیست‌شناسی، دانشکده علوم پایه، دانشگاه گیلان، رشت، ایران

<sup>۲</sup>دانشیار، گروه زیست‌شناسی، دانشکده علوم پایه، دانشگاه گیلان، رشت، ایران

<sup>۳</sup>دانشیار، گروه علوم دریایی، پژوهشکده حوضه آبی دریای خزر دانشگاه گیلان، رشت، ایران

تاریخ ارسال: ۹۷/۵/۸؛ تاریخ پذیرش: ۹۷/۷/۲

### چکیده

در مطالعه حاضر ساختار شبکیه چشم شاه‌کولی (*A. chalcoides*) در سه مرحله جنینی، لاروی و بالغ به جهت درک قابلیت دید این ماهی اقتصادی در دوره زندگی بروزی شده است. برای این منظور نمونه‌های بافتی از شبکیه شاه‌کولی بالغ و همچنین جنین و لارو آن با فواصل مشخص نمونه‌برداری شد. مطالعات بافت شناختی نشان داد که پرموردیوم بینایی ۱۶ ساعت پس از لقاد (۱۶hAF) از لایه اکتوورم ایجاد شد که پس از نمو و توسعه، جام بینایی را به وجود آورد. جام بینایی اولیه همان شبکیه تمایز نیافته بود و قبل از ساعت ۲۶hAF شروع به شکل گرفتن کرد. سلول‌های لایه اپیتلیوم رنگدانه‌دار اولین سلول‌هایی بودند که از ۲۶hAF شروع به شکل گرفتن کردند و رنگدانه‌ها حدود ۶۸hAF نمایان شد. لاروها با شبکیه‌ای که بخش عمده آن سلول‌های شبکیه متمایز شدند و رنگدانه‌ها حدود ۷۲hAF (DAH) مشاهده شد که شامل پنج لایه اپیتلیوم رنگدانه‌دار، لایه سلول‌های گیرنده نور، لایه هسته‌دار داخلی، لایه مشبك داخلی و لایه سلول‌های گانگلیونی بود. لایه مشبك خارجی در ۱۴۴hAF (3DAH) قابل تشخیص شد و در اوایل روز ۴DAH با تفکیک لایه سلول‌های گیرنده نور به دو لایه هسته‌دار خارجی و لایه گیرنده‌های نوری تقسیم شد. لایه‌بندی شبکیه قبل از تهی شدن کیسه زرده کامل شد. ترتیب لایه‌های شبکیه

\*نويسنده مسئول: shabani@guilan.ac.ir

در شاهکولی بالغ مشابه لارو ۴ روزه پس از تفریخ (۱۶۸ ساعت پس از لقاح) بود. ضخامت لایه‌ها با هم متفاوت بود به طوری که از ضخامت لایه هسته‌دار داخلی کاسته و بر ضخامت لایه گیرنده‌های نوری افزوده شد.

واژه‌های کلیدی: *A. chalcoides*, نمو، تفریخ، لایه سلولی

#### مقدمه

با وجود تشابهی که از نظر نوع لایه‌ها در چشم گروه‌های مختلف مهره‌دار دیده می‌شود، لایه‌بندی و نمو شبکیه در ماهیان تفاوت‌هایی با سایر گروه‌ها نشان می‌دهد (Kunz-Ramsay, 2004). مطالعات نشان داده‌اند که ضخامت و آرایش سلولی لایه‌ها در شبکیه ماهیان ارتباط نزدیکی با سن ماهی، مرحله نموی، سیک زندگی، نحوه یافتن غذا و استراتژی تغذیه، رفتار گله‌ای (Schooling)، رقابت، یافتن جفت و جفت‌گیری و همین‌طور شرایط محیطی و زیستگاه مانند میزان نور محیط و عمق محل زندگی دارد (Zaunreiter *et al.*, 1991; Bantseev *et al.*, 2004; Carton and Vaughan, 2010; Darwisch *et al.*, 2015; Hunt *et al.*, 2015).

بینایی در تغذیه و بقای ماهی بهویژه در مراحل اولیه زندگی آن نقش مهمی دارد و چشم یکی از اولین اندام‌هایی است که طی فرآیند اندام‌زایی در جنین تشکیل می‌شود. شبکیه اولین بخشی از چشم است که به صورت جام بینایی از پریموردیوم بینایی با منشا اکتودرمی ایجاد می‌شود. ابتدا در شبکیه هیچ نوع لایه‌بندی مشاهده نمی‌شود و همه سلول‌های تشکیل دهنده آن مشابه هستند (Schmitt and Dbwling, 1994; Kimmel *et al.*, 1995; Kitambi and Malicki, 2008; Carton and Vaughan, 2010). زمان ایجاد شبکیه اولیه (تمایز نیافته) و آغاز لایه‌بندی (ایجاد تمایز) در گونه‌های مختلف ماهی متفاوت است (Schmitt and Dbwling, 1994; Iwamatsu, 2004; Carton and Vaughan, 2010; Yahaya *et al.*, 2011; Kawamura *et al.*, 2016 Kimmel *et al.*, 1995; Iwamatsu, 2004; Shadrina and Pavlov, 2015; Thepot and Jerry, 2015).

تاکنون ساختار شبکیه و آرایش لایه‌های آن در گونه‌های مختلف ماهی مانند شگ‌ماهی *Alosa* Shabanipoor and (Hussianzadeh *et al.*, 2015) *braschnikowi* Khorshidsedehi and Shabanipoor., (*Acipenser stellatus*, Khorshidsedehi, 2017) ازون‌برون (Khalili *et al.*, 2014) *Clupeonella grimmi* و کیلکا (Schmitt and Dbwling, 1994; Kimmel *et al.*, 1995) *Danio rerio* آن‌ها مانند ماهی گورخری تعیین شده است و مراحل نمو بعضی از (Carton *et al.*, 2011) *Seriola lalandi* (Kitambi and Malicki, 2008) *Oryzias latipes* مدارا (Yahaya *et al.*, 2011) *Lates calcarifer* (and Vaughan, 2010) باس دریایی آسیایی

Clarias gariepinus (Cucchi *et al.*, 2012) Dicentrarchus labrax (Kawamura *et al.*, 2016) مورد مطالعه قرار گرفته است. اما تاکنون مطالعه‌ای بر ساختار شبکیه شاهکولی Alburnus chalcoides چه در مراحل جنینی، لاروی و چه در مرحله بلوغ صورت نگرفته است. از این رو مطالعه حاضر به بررسی مراحل نمو شبکیه در جنین و لارو شاهکولی و مقایسه آن با شبکیه چشم بالغ جانور پرداخته است. شاهکولی گونه‌ای از خانواده کپورماهیان بوده و در حوضه دریای خزر و رودخانه‌های اطراف آن به عنوان نمونه ای تجاری محسوب می‌شود (Patimar *et al.*, 2010).

## مواد و روش‌ها

تخم‌های لقاح یافته شاهکولی (*A. chalcoides*) از مرکز تکثیر، پرورش و بازسازی ذخایر ماهیان استخوانی شهید انصاری (رشت) تهیه شد و مراحل نگهداری آن‌ها نیز در همان مرکز انجام شد. به این ترتیب که تخم‌های لقاح یافته پس از شستشو و رفع چسبندگی به انکوباتور ویس (Weiss) (انتقال پیدا کردند و تا زمان تفریخ در آنجا نگهداری شدند. زمان لقاح، روز صفر پس از لقاح (0DAF – Day After Fertilization) و زمان تفریخ، روز صفر پس از تفریخ (0DAH – Day After Hatch) در نظر گرفته شد.

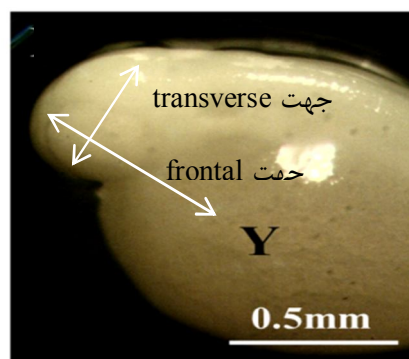
آب مورد نیاز قبل از استفاده از فیلتر UV عبور کرده و سپس وارد انکوباتورها می‌شد. جریان آب درون انکوباتور دائمی و ملایم بود تا تخمهای به حالت تعليق در آمده و از انباسه شدن آن‌ها روی هم جلوگیری شود. لاروها پس از تفریخ به سمت لبه بالای انکوباتور شنا کردند و در همانجا جمع‌آوری و به تراف (Trough) منتقل شدند. در تراف نیز جریان آب دائمی و ملایم برقرار بود. در دوره نگهداری، ماهیان تحت شرایط نوری طبیعی شباهنروزی قرار داشتند (اوخر اردیبهشت، ۱۴ ساعت روشنایی و ۱۰ ساعت تاریکی). دمای آب نیز بین ۲۱ تا ۲۳ درجه سانتی‌گراد بود (دمای طبیعی آب).

برای تشخیص لقاح تا رسیدن به مرحله گاسترولا نمونه‌برداری به صورت تصادفی انجام شد. اما پس از آن برای تعیین زمان مراحل شکل‌گیری و تمایز شبکیه، نمونه‌برداری طبق جدول ۱ انجام شد. در هر بار نمونه‌برداری ۱۰ نمونه (تخم یا لارو) جمع‌آوری و در محلول بوئن ثبت شد تا مورد مطالعات بعدی قرار بگیرد. نمونه‌برداری از لاروها تا زمان اتمام کیسه زرده انجام شد. از ۱۰ قطعه ماهی بالغ نیز پس از تلف شدن چشم‌ها جدا و در بوئن ثبت شد.

جدول ۱- زمان‌بندی نمونه‌برداری از لقاح تا زمان اتمام کیسه زرده شاه‌کولی (*A. chalcooides*)

نمونه‌برداری	ساعت پس از لقاح	روز پس از لقاح
تصادفی	۰-۱۲	--
هر دو ساعت	۱۲-۲۴	--
هر دو ساعت	۲۴-۷۲	۱-۲
هر شش ساعت	۷۲-۱۲۰	۳-۴
هر دوازده ساعت	۱۲۰-۱۶۸	۵-۶
هر ۲۴ ساعت	از ساعت ۱۶۸ تا اتمام کیسه زرده	از روز ۶ به بعد

نمونه‌ها قبل از انجام مراحل بافت‌شناسی ابتدا زیست‌سنگی شدند و طول جنین یا لارو و قطر خارجی چشم یا حدقه اندازه‌گیری شد (جدول ۲). نمونه‌های جنین و لارو به دلیل کوچکی اندازه، به طور کامل و بدون جدا کردن چشم از بدن، ابتدا آب‌گیری، شفاف سازی و پس از قرار گرفتن در حمام پارافین قالب‌گیری شدند و پس از آن در جهت‌های سری-دمی (Transverse) (Frontal) (پشتی-شکمی (شکل ۱) با ضخامت ۵ میکرومتر توسط میکروتوم مقطع‌برداری شد. برای آماده‌سازی چشم‌های ماهیان بالغ، ابتدا عنبیه چشم به آرامی برداشته و عدسی آن خارج شد. سپس چشم به صورت کامل و قالب‌گیری شد. پس از قالب‌گیری چشم در جهت محور قرنیه- شبکیه با ضخامت ۵ میکرومتر مقطع زده شد. مقاطع به روش هماتوکسیلین- ائوزین (H & E) رنگ‌آمیزی شدند و زیر میکروسکوپ مورد مطالعه قرار گرفتند. به این ترتیب که ضمن بررسی وضعیت لایه‌بندی و زمان ظهور هر یک از لایه‌ها ضخامت هر لایه، ضخامت شبکیه و قطر چشم (در جهت قرنیه به شبکیه) اندازه‌گیری شد.

شکل ۱- جهت مقاطع تهیه شده از چشم در جنین شاه‌کولی (*A. chalcooides*). Y: کیسه زرده

## مقایسه لایه‌بندی شبکیه چشم در جنین، لارو و بالغ شاهکولی...

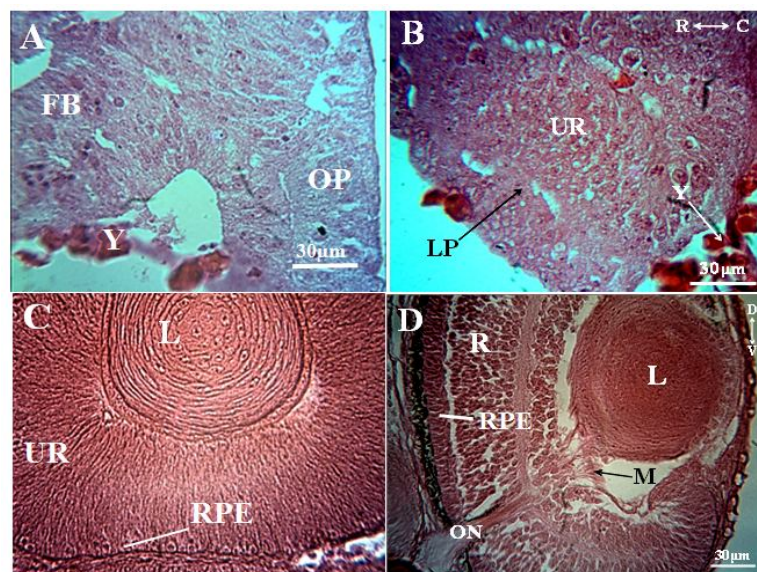
جدول ۲- اندازه طول بدن و قطر چشم در جنین، لارو و بالغ شاهکولی (*A. chalcoides*) (میانگین ± خطای استاندارد).

قطر حدقه چشم (میلی‌متر)	طول کل (میلی‌متر)	زمان (روز)
۰/۳۲±۰/۰۰۴	۵/۱±۰/۵۵	۲DAF
۰/۲۶±۰/۰۰۵	۵/۵±۰/۲۳	۳DAF* (۷۲ ساعت)
۰/۴۰±۰/۰۱۰	۶/۳±۰/۱۳	۴DAF
۰/۴۴±۰/۰۰۵	۶/۹±۰/۰۵	۵DAF
۰/۴۸±۰/۰۱۳	۷/۴±۰/۰۸	۶DAF
۰/۴۹±۰/۰۱۳	۷/۸±۰/۲۱	۷DAF
۰/۵۱±۰/۰۰۸	۷/۹±۰/۰۳	۸DAF
		بالغ

\*: روز تفريخ؛ DAF : روز پس از لقاد

## نتایج

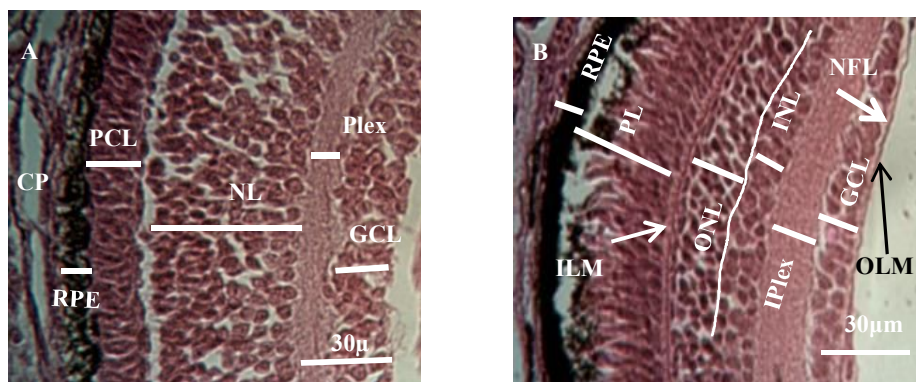
اولین تسهیم سلوولی یا کلیواژ در تخم شاهکولی یک ساعت پس از لقاد در قطب جانوری رخ داد. پس از تقسیمات متوالی، طی مدت ۱۲ ساعت جنین به مرحله گاسترولا رسید و پریموردیوم بینایی ۴ ساعت بعد از اکتودرم مشتق شد (۱۶hAF). سپس تا ساعت ۲۴ پس از لقاد، پریموردیوم بینایی توسعه یافته، شبکیه اولیه را که متشکل از چند لایه سلوول تمایز نیافته و هم‌شکل بود ایجاد کرد (شکل A-۲). درون رفتگی (Invagination) در شبکیه اولیه مقدمات تشکیل جام بینایی فراهم آورده و در ساعت ۲۶ پس از لقاد پلاک عدسی تشکیل شد (شکل B-۲). با رشد جام بینایی فضای لازم برای تشکیل و نمو عدسی فراهم شد. با وجود رشد جام بینایی و افزایش وسعت شبکیه، قسمت عمده شبکیه در جنین شاهکولی تا زمان تفريخ (حدود ساعت ۷۲ پس از لقاد) تمایز نیافته باقی ماند (شکل C-۲) و تنها لایه تمایز یافته آن لایه اپیتیلیوم رنگدانه‌دار (RPE - Retina Pigmented Epithelium) بود. سلوول‌های درشت اپیتیلیوم رنگدانه‌ای اولین بار در ساعت ۳۶ پس از لقاد قابل تشخیص شدند، اما فاقد رنگدانه بودند. رنگدانه‌دار شدن سلوول‌های لایه RPE ابتدا به صورت جزئی در بخشی از شبکیه که روبه‌روی عدسی بود (در جهت مردمک) حدود ساعت ۶۸ پس از لقاد یعنی کمی قبل از تفريخ، آغاز شد. سپس به تمام جهات شبکیه گسترش یافت و تا روز ۴ یا ۹۶ ساعت پس از لقاد (روز اول پس از تفريخ) کامل شد (شکل D-۲).



شکل ۲- مراحل نمو شبکیه در جنین شاهکولی (*A. chalcooides*) (A): ۲۴ ساعت پس از لقاح، در این مرحله پریموردیوم بینایی (OP) تنها از سلول‌های هم‌شکل تشکیل شده است که شبکیه تمایز نیافته را ایجاد می‌کند. (B) ۶۸ ساعت پس از لقاح، درون رفتگی جام بینایی شروع شده است. شبکیه تمایز نیافته (UR) و پلاک عدسی (LP) در حال شکل‌گیری است. (C) ۹۶ ساعت پس از لقاح، جام بینایی شبکیه خود را به دست آورده است، بخش عمده شبکیه تمایز نیافته باقی مانده است و حضور تدریجی رنگدانه در سلول‌های RPE (D) ۱۶۸ ساعت پس از لقاح، گسترش رنگدانه در RPE و ایجاد تمایز لایه‌ها. FB: مغز پیشین، Y: زرد، M: عضله کشنده، ON: عصب بینایی، R: جهت سری-دهی (Rostro-Caudal), C: جهت پشتی-شکمی.

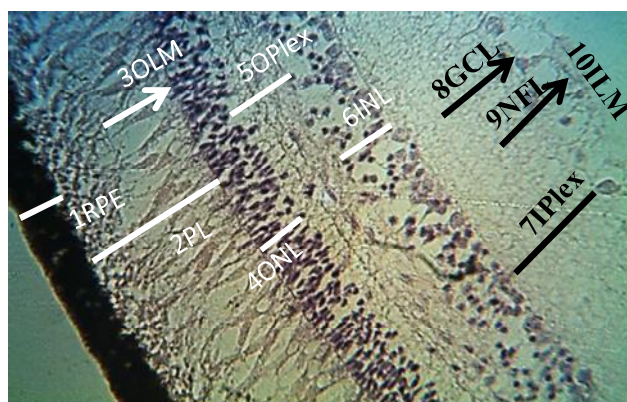
تمایز سلولی شبکیه پس از تفریخ آغاز و لایه‌بندی شبکیه در لارو با عبور از چند مرحله تکمیل شد. به این ترتیب که تا روز اول پس از تفریخ (4DAF) با مهاجرت سلول‌ها به لایه‌های مختلف، ۵ لایه در شبکیه تشکیل شد که از خارج به داخل کرده چشم شامل لایه RPE، لایه سلول‌های NL-(Nuclear Layer)، لایه هسته‌دار (PCL- Photoreceptor Cell Layer) (GCL- Ganglion Cell Layer) بود (شکل ۳-۳). در روز ۴ یا ۱۶۸ ساعت پس از تفریخ (7VDAF) سلول‌های گیرنده نور آرایش منظم‌تری یافتند. سلول‌های گیرنده از نظر اندازه بزرگتر شده و بخش داخلی آنها که حاوی هسته است در زیر غشاء محدود کننده خارجی ردیف شدند و بخش خارجی آنها در لایه جداگانه‌ای تحت عنوان لایه PLC گیرنده‌های نوری (PL- Photoreceptor Layer) قرار گرفتند (شکل ۳-B). توضیح اینکه لایه PLC باید با لایه PL یکسان فرض شود. PCL زمانی ظاهر می‌شود که هنوز غشاء محدود کننده خارجی

وجود ندارد، سلول‌های حساس به نور از نوع استوانه‌ای بوده و دو بخش داخلی و خارجی سلول‌های استوانه‌ای که کمی بعد معمولاً قابل تمیزدادن است اینجا تفکیک‌پذیر نیستند (شکل A-۳). در مقابل، PL لایه‌ای است که شامل بیشتر سلول‌های استوانه‌ای و کمتر مخروطی بوده و غشاء محدود‌کننده خارجی (Outer Limiting Membrane) به صورت خطی باریک بخش داخلی و هسته‌دار سلول‌های حساس به نور را از بخش خارجی که گیرنده اصلی نور هستند ظاهرآ جدا می‌نماید. لذا همراه با تمایز لایه‌های شبکیه غشاء محدود‌کننده خارجی رویت پذیر شد. لایه هسته‌دار به طور مشخص به دو لایه داخلی (INL- Inner Nuclear Layer) و خارجی (ONL- Outer Nuclear Layer) تقسیم نشده است و بین آنها هنوز لایه مشبك داخلی (IPlex - Inner Plexiform Layer) به وجود نیامده است ولی تفاوت نوع سلول در دو مجموعه جداگانه (شکل B-۳) به وجود آمدن دو لایه را اعلام می‌کند. در این مرحله غشاء محدود‌کننده داخلی (Inner Limiting Membrane) نیز ظاهر می‌شود ولی لایه رشته‌های عصبی (آکسون سلول‌های گانگلیونی) (NFL- Nerve Fiber layer) هنوز ضخامت زیادی ندارد. لایه‌بندی شبکیه در لارو شاهکولی فرآیندی تدریجی است و به نظر می‌رسد متناسب با نیاز و فعالیت لارو رو به تکامل رود. در اواخر روز ۴ پس از تفريح (۱۶۸ ساعت پس از لقاح) اندکی قبل از تهی شدن کامل کیسه زرد و شروع تغذیه خارجی شبکیه لارو شاهکولی دارای ۹ لایه از ۱۰ لایه معمول در شبکیه مهره‌داران بود و لایه مشبك داخلی نگرفته است.



شکل ۳- مراحل نمو شبکیه در لارو شاهکولی (*A. chalcooides*) (A): ۴ روز پس از لقاح، در این مرحله ۵ لایه متمایز قابل تشخیص است: لایه اپیتلیوم رنگدانه‌دار، (RPE)، لایه سلول‌های گیرنده نور، (PCL)، لایه هسته‌دار، (NL)، لایه مشبك، (Plex) و لایه سلول‌های گانگلیونی (GCL). (B): ۷ روز پس از لقاح، در این مرحله لایه‌بندی شبکیه با اضافه شدن لایه مشبك خارجی (OPL) و تشکیل لایه هسته‌دار خارجی (ONL) و لایه گیرنده‌های نوری (PL)، کامل شد.

شبکیه در شاهکولی بالغ مشابه بقیه مهره‌داران از ده لایه تشکیل شده است (شکل ۴). پس از اتمام زرده و آغاز زندگی آزاد در بچه‌ماهی در کنار حضور ده لایه شبکیه بتدریج ضخامت لایه نیز دچار دگرگونی شد (جدول ۳، شکل ۵). در شبکیه چشم لارو، یک روز پس از تفریخ لایه NL بیشترین ضخامت را داشت به طوری که ۴۶٪ از پهنهای شبکیه را به خود اختصاص می‌داد (شکل ۵) اما ضخامت آن تا روز ۴ پس از تفریخ کاهش یافت و به ۲۷٪ رسید. این کاهش تا مرحله بالغ ادامه یافت. در شاهکولی بالغ قطر لایه هسته‌دار از نظر محتوای سلولی به دو لایه هسته‌دار خارجی و هسته‌دار داخلی قابل تفکیک شد که ضخامت هر دو از قبل کمتر بود و تنها ۱۱٪ شبکیه را تشکیل داد. ضخامت لایه سلول‌های گیرنده نور (PCL) و سپس لایه گیرنده‌های نوری (PL) همراه با رشد ماهی افزایش یافت. به طوری که ضخامت لایه PL در روز ۴ پس از تفریخ به ۲۲٪ و در بالغ ضخامت لایه PL به ۳۶٪ رسید. که بیشترین سهم از شبکیه را به خود اختصاص داد (شکل ۵). در شبکیه شاهکولی بالغ لایه‌های RPE، IPlex و GCL نیز نسبت به مراحل لاروی ضخامت بیشتری داشتند (جدول ۳، شکل ۴).



شکل ۴- ترتیب لایه‌ها در شبکیه چشم شاهکولی بالغ (*A. chalcooides*)  
۱: لایه سلول‌های رنگدانه‌دار،  
۲: لایه گیرنده‌های نوری، ۳- ILM : غشاء محدودکننده خارجی، ۴- ONL: لایه هسته‌دار خارجی، ۵- GCL : لایه مشبك خارجی، ۶- INL : لایه هسته‌دار داخلی ۷- IPlex : لایه مشبك داخلی، ۸- INL: لایه سلول‌های گانگلیونی، ۹- NFL: لایه رشته‌های عصبی، ۱۰- OLM: غشای محدودکننده داخلی.

مقایسه لایه‌بندی شبکیه چشم در جنین، لارو و بالغ شاهکولی...

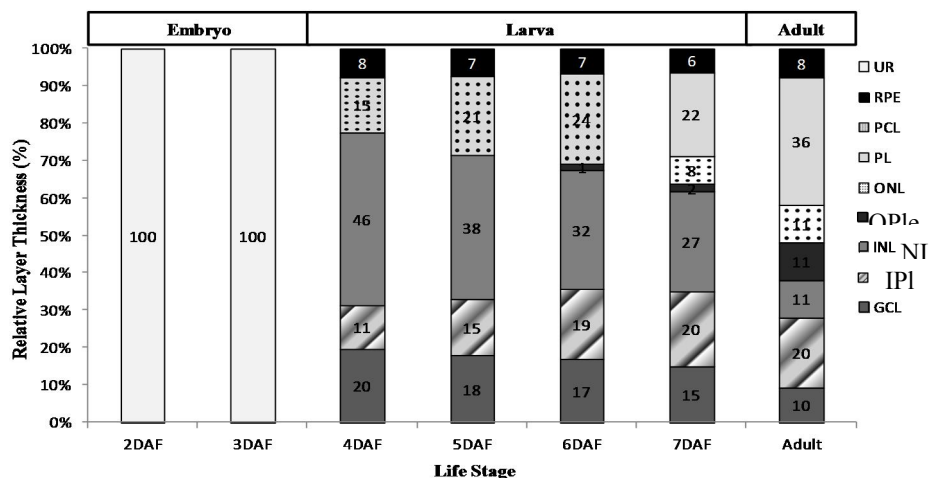
جدول ۳- قطر چشم و ضخامت شبکیه و لایه‌های آن در شاهکولی (A. *chalcooides*) در زمان‌های مختلف (میانگین ± خطای استاندارد)

بالغ	۷DAF یا ۴DAH	۶DAF	۵DAF	۴DAF	۳DAF**	۲DAF	
۲۶۵۷	۳۳۲±۳/۹۶	۳۱۹±۲۳/۰۸	۲۶۴±۰/۵۰	۲۴۶±۹/۶۵	۱۹۰±۲۲/۶۴	۱۴۶±۲۴/۱۶	قطر چشم *
							(میکرومتر)
۲۲۲/۵۸	۱۲۱/۶±۱/۴۵	۱۰۶/۵±۸/۰۳	۹۶/۹±۰/۵۰	۸۶/۳±۱۰/۱۸	۶۴/۹±۸/۱۴	۴۵/۵±۶/۴۳	ضخامت شبکیه
							(میکرومتر)
۱۹/۳۵	۷/۷±۰/۴۴	۷/۳±۰/۳۴	۷/۲±۰/۲۵	۶/۶±۱/۱۷	--	--	RPE
							(میکرومتر)
۱۰۸/۳۹	۳۴/۷±۱/۴۵	۲۵/۷±۱/۵۶	۲۰/۳±۰/۵۷	۱۲/۷±۱/۳۸	--	--	PCL
							(میکرومتر)
۸۳/۲۳	۲۷/۲±۲/۰۰	--	--	--	--	--	PL
							(میکرومتر)
		۳۴/۱±۱/۹۸	۳۷/۳±۰/۲۱	۴۰/۰±۵/۶۳			NL
۲۵/۱۶	۹/۲±۰/۳۳	--	--	--	--	--	ONL
							(میکرومتر)
۲۴/۱۹	۳۲/۸±۳/۰۳	--	--	--	--	--	INL
							(میکرومتر)
۳۰/۰۰	۲۵/۷±۰/۳۳	۲۰/۰±۴/۸۱	۱۴/۶±۰/۲۵	۹/۹±۱/۲۴	--	--	IPlex
							(میکرومتر)
۲۳/۲۳	۱۸/۳±۰/۷۶	۱۸/۰±۰/۹۶	۱۷/۳±۰/۱۵	۱۷/۱±۱/۷۷	--	--	GCL
							(میکرومتر)

\*: در جهت قرنیه به شبکیه؛ \*\*: روز تغیریخ

علامت «--» نشان‌دهنده این است که لایه مورد نظر هنوز تشکیل نشده است.

DAF: روز پس از تلاش، RPE: لایه سلول‌های رنگدانه‌ای، PCL: لایه سلول‌های گیرنده نور، PL: لایه گیرنده‌های نوری، NL: لایه هسته‌دار خارجی، INL: لایه هسته‌دار داخلی، IPlex: لایه مشبك داخلی، GCL: لایه سلول‌های گانگلیونی.



شکل ۵- درصد ضخامت (سهم) هر لایه در شبکیه در مراحل جنینی، لاروی و بالغ شاهکولی (*A. chalcooides*) تا روز سوم پس از لقاح (۳DAF) یعنی روز تفریخ، شبکیه تمایز نیافته و قادر لایه‌بندی است. اولین سطح لایه‌بندی در روز ۴ (۴DAF) پس از لقاح مشاهده می‌شود که در این مرحله لایه هسته‌دار داخلی بیشترین ضخامت را دارد، اما با افزایش رشد شبکیه از ضخامت این لایه کاسته شده و در مقابل، همان‌طور که در ماهی بالغ دیده می‌شود، لایه گیرنده‌های نوری سهم بیشتر را به خود اختصاص می‌دهند. روز پس از لقاح، UR: شبکیه تمایز نیافته، RPE: لایه اپیتلیوم رنگدانه‌ای، PCL: لایه سلول‌های گیرنده نور، PL: لایه گیرنده‌های نوری، ONL: لایه هسته‌دار خارجی، OPIx: لایه مشبك خارجی، NL: لایه هسته‌دار، INL: لایه هسته‌دار داخلی، IPlex: لایه مشبك داخلی، GCL: لایه سلول‌های گانگلیونی. غشاء محدودکننده داخلی و خارجی آورده نشده‌اند.

### بحث و نتیجه‌گیری

اولین مرحله تشکیل چشم، ایجاد پریموردیوم بینایی است که از لایه جنینی اکتوودرم مشتق می‌شود. پریموردیوم بینایی در جنین شاهکولی (*A. chalcooides*) ۱۶ ساعت پس از لقاح به وجود آمد. اما در ماهی گورخری (*Danio rerio*) زودتر و ۱۱/۵ ساعت پس از لقاح (Schmitt and Dbwling, 1994) و در مذاکا دیرتر و ۲۶ ساعت پس از لقاح (Iwamatsu, 2004) تشکیل می‌شود. به نظر می‌رسد که طول دوره جنینی (قبل از تفریخ) بر سرعت نمو اندامها مؤثر باشد. به طوری که لارو ماهی گورخری در ساعت ۴۸ پس از لقاح (Kimmel et al., 1995) زودتر از شاهکولی (حدود ۷۲DAF) تفریخ می‌شود، اما مذاکا دیرتر و ۹ روز پس از لقاح تفریخ می‌شود (Iwamatsu, 2004). علاوه بر طول دوره جنینی و سایر ویژگی‌های ذاتی، ویژگی‌های اکولوژیکی به ویژه دما نیز بر سرعت نمو اندامها اثر می‌گذارد (Kimmel et al., 1995; Iwamatsu, 2004; Shadrina and Pavlov, 2015; Thepot and Jerry, 2015).

2015. در بس دریایی آسیایی و استرالیایی (*Lates calcarifer*) نیز سرعت نمو جنینی بسیار بالا است. به طوری که لارو بس دریایی آسیایی ۱۸ ساعت پس از لقاح تفریخ شده پریموردیوم بینایی در آن‌ها حدود ۱۰ پس از لقاح تشکیل شد (Shadrina and Pavlov, 2015). در نژاد استرالیایی بس دریایی نمو جنین سریع‌تر است و زمان تفریخ و تشکیل پریموردیوم بینایی به ترتیب حدوداً ۱۲ و ۶ ساعت پس از لقاح بود (Thepot and Jerry, 2015).

در مرحله بعدی پریموردیوم بینایی توسعه یافته، به سمت داخل انحصاری می‌یابد که این مرحله مقدمه تشکیل جام بینایی است. در جنین شاهکولی، شروع شکل‌گیری جام بینایی که با آغاز درون‌رفتگی پریموردیوم بینایی همراه بود قبل از ساعت ۲۶ پس از لقاح رخ داد. جام بینایی اولیه از چند لایه سلول هم‌شکل تشکیل شده بود که همان شبکیه تمایز نیافته بود. جام بینایی در بس دریایی آسیایی (Shadrina and Pavlov, 2015) تا قبل از ۱۴ ساعت پس از لقاح (*Lates calcarifer*) و در مدارا ۳۴ ساعت پس از لقاح (Iwamatsu, 2004) شکل گرفت.

طی نمو جنینی در شاهکولی اندازه جام بینایی و وسعت شبکیه افزایش یافت، اما بخش عمده سلول‌های شبکیه تا زمان تفریخ (حدود ۷۲ ساعت پس از لقاح) تمایز نیافته باقی ماند. لایه رنگدانه‌ای (PRG) تنها لایه تمایزیافته شبکیه در جنین بود که سلول‌های آن حدود ساعت ۳۶ پس از لقاح قابل تشخیص بوده و رنگدانه‌ها حدود ۶۸ ساعت پس از لقاح (کمی قبل از تفریخ) نمایان شدند (پیگمانتسیون جزئی). درجه تمایز یافتنی شبکیه در زمان تفریخ در ماهیان مختلف با یکدیگر متفاوت است. در بعضی گونه‌ها، لاروها با چشم کاملاً تمایز یافته تفریخ می‌شوند مانند ماهی مدارا (Kitambi and Malicki, 2008)، اما در بعضی از گونه‌ها مشابه شاهکولی، لاروها با شبکیه تمایز نیافته تفریخ می‌شوند مانند کینگ‌فیش دمزرد (Carton and Vaughan, 2010)، بس دریایی آسیایی (Yahaya et al., 2011)، گربه‌ماهی آفریقایی (تفریخ ۲۴ ساعت بعد از لقاح؛ Kawamura et al., 2016). به نظر می‌رسد که هر چه دوره جنینی قبل از تفریخ کوتاه‌تر باشد لارو با شبکیه تمایز نیافته‌تر تفریخ می‌شود. زمان پیدایش لایه‌های مختلف در ماهیان مختلف تا حدودی با هم متفاوت است. در بعضی از ماهیان تمایز لایه RPE همراه با تولید رنگدانه قبل از تفریخ تکمیل شده یا آغاز می‌گردد مانند ماهی گورخری (Kimmel et al., 1995)، مدارا (Iwamatsu, 2004) و شاهکولی. اما در بعضی گونه‌ها تولید رنگدانه پس از تفریخ شروع می‌شود مانند کینگ‌فیش دمزرد (Carton and Vaughan, 2010) و (Cucchi et al., 2012) *Dicentrarchus labrax*. در شاهکولی پیگمانتسیون لایه RPE که قبل از تفریخ شروع شده بود تا روز اول پس از تفریخ (FDAF) تکمیل شد. در بس دریایی آسیایی رنگدانه‌ها یک روز پس از تفریخ به صورت جزئی ظاهر شدند، اما تا روز دوم به خوبی پراکنش یافتند (Yahaya et al., 2011). در گربه‌ماهی آفریقایی نیز چشم‌ها هنگام تفریخ شفاف بودند، اما طی یک روز پس از تفریخ

RPE تکامل یافته و رنگدانه‌ها ایجاد شدند (Kawamura *et al.*, 2016). در *Dicentrarchus labrax* (Kawamura *et al.*, 2016) ۶ روز پس از تغذیه همراه با آغاز رفتار تغذیه‌ای رخ داد که این امر باعث بھبود دید شد (Cucchi *et al.*, 2012).

پس از تغذیه، در مرحله لاروی، تکمیل لایه‌بندی شبکیه شاهکولی در چند مرحله انجام شد. به این ترتیب که در روز یک پس از تغذیه شبکیه تنها ۵ لایه متمایز داشت ولی تا روز ۴DAH و جذب کامل زرده اغلب لایه‌های شبکیه تمایز یافتند. مقارن شدن لایه‌بندی شبکیه با تهی‌شدن کیسه زرده و آغاز زندگی آزاد به عنوان بچه‌ماهی ضرورت آگاهی بصری ماهی از اطراف و یافتن غذا را ایجاد می‌کند.

تمایز شبکیه در لارو باس دریایی آسیایی طی دو روز رخ داد. در روز اول پس از تغذیه لایه‌های RPE، IPlex، INL، ONL، PL، GCL تمایز یافتند و در روز دوم OPLex به همراه پیگماننتاسیون لایه آزاد قابل تشخیص شد. به این ترتیب چشم لارو از دو روز پس از لقادیر برای به کارگیری در تغذیه آزاد آماده شد (Yahaya *et al.*, 2011). اگرچه لارو گربه‌ماهی آفریقایی نیز با شبکیه تمایز نیافته تغذیه شد، اما طی یک روز پس از تغذیه تمام لایه‌ها به جز لایه OPL شکل گرفتند. روز سوم پس از تغذیه تمام اجزای شبکیه تکمیل شد (Kawamura *et al.*, 2016). در کینگ‌فیش دم‌زرد تمایز شبکیه و آغاز پیگماننتاسیون RPE از روز ۲ پس از تغذیه شروع و تا روز ۴ پس از تغذیه ادامه یافت (Carton and Vaughan, 2010).

بینایی حس اصلی است که لارو برای تغذیه (Kawamura and Washiyama, 1989)، اجتناب از شکارچی و جستجوی پناهگاه از آن استفاده می‌کند (Zaunreiter *et al.*, 1991; Dahm *et al.*, 2007). از این رو، چشم در مراحل اولیه اندامزایی شکل می‌گیرد و تا قبل از شروع تغذیه به خوبی کاربردی و پیگمانته می‌شود (Kawamura and Washiyama, 1989; Zaunreiter *et al.*, 1991; Dahm *et al.*, 2007; Yahaya *et al.*, 2011; Cucchi *et al.*, 2012).

طرح ساختار شبکیه شاهکولی بالغ از ۱۰ لایه طرح عمومی شبکیه در سایر ماهیان و مهره‌داران پیروی می‌کرد و شامل لایه‌های ILM، OLM، PL، RPE، ONL، GCL، IPlex، INL، NFL می‌شد. اما ضخامت شبکیه و لایه‌های مختلف آن با لاروها فرق داشت. ضخامت شبکیه در شاهکولی بالغ بیشتر بود (۴۶٪). ضخامت شبکیه اما ضخامت آن همراه با رشد ماهی کاهش یافت. در مقابل ضخامت لایه PL همراه با رشد افزایش یافت به طوری که ضخامت آن در ماهی بالغ بیشترین سهم را در شبکیه داشت (۳۶٪). به جز لایه IN که خود به دو لایه تمایز یافت ضخامت سایر لایه همراه با رشد ماهی افزایش یافت. بعد از لایه PL بیشترین تغییر در لایه OPLex مشاهده شد. به طوری که سهم آن به ۱۱٪ در ماهی بالغ رسید. ضخامت لایه IPlex در هر دو ماهی بالغ و لارو ۲۰٪ شبکیه را تشکیل داد.

علاوه بر تفاوت ترکیب‌بندی لایه‌ها در دوره‌های مختلف زندگی، گستره لایه‌ها در گونه‌های مختلف وابسته به سبک زندگی و نیازهای زیست‌محیطی ماهیان است (Zaunreiter *et al.*, 1991; Darwish *et al.*, 2015). همچنین مقایسه ضخامت لایه‌های شبکیه نسبت به یکدیگر، اطلاعات مفیدی درباره رفتار ماهی فراهم می‌کند. به عنوان مثال نسبت ضخامت لایه ONL به INL برای تعیین رفتار روزگردی یا شبگردی به کار می‌رود. به این ترتیب که کمتر بودن ضخامت لایه ONL در مقایسه با INL نشان دهنده روزگرد بودن است و در مقابل ضخامت بیشتر لایه ONL نسبت به INL نشان دهنده رفتار شبگردی است (Wanga *et al.*, 2011; Darwish *et al.*, 2015). در شاهکولی در مرحله لاروی ضخامت لایه INL بیش از سه برابر لایه ONL بود که نشان دهنده نوردوست بودن لاروهای بود. اما اختلاف ضخامت این دو لایه همراه با رشد ماهی کاهش یافت به طوری که ضخامت لایه ONL در دوره بلوغ کمی کمتر از INL بود. این شاخص (ONL/INL) نشان می‌دهد که میزان وابستگی لارو شاهکولی به نور بسیار بیشتر از ماهی بالغ است هرچند تا زمان جذب زرده دخالت زیادی در فعالیت‌های آن ندارد (Miller *et al.*, 1993; Shand *et al.*, 1999).

### تشکر و قدردانی

بدین‌وسیله از رئیس محترم مرکز تکثیر و بازسازی ذخایر ماهیان استخوانی شهید انصاری شهرستان رشت، آقای مهندس رضا خمیرانی و پرسنل کوشای آن نهاد به خصوص همکاری همه جانبه آقای مهندس مهدی سبحانی در حفظ و برداشت تدریجی نمونه‌های آزمایشگاهی صمیمانه تشکر و قدردانی می‌شود.

### منابع

- Bantseev V., Moran K.L., Dixon D.G., Trevithick J.R., Sivak J.G. 2004. Optical properties, mitochondria, and sutures of lenses of fishes: A comparative study of nine species. Canadian Journal of Zoology, 82(1): 86-93.
- Carton A.G., Vaughan M.R. 2010. Behavioural and anatomical measures of visual acuity in first-feeding Yellowtail Kingfish (*Seriola lalandi*) larvae. Environmental Biology of Fishes, 89(1): 3-10.
- Cucchi P., Sucre E., Santos R., Leclere J., Charmantier G., Castille R. 2012. Embryonic development of the sea bass *Dicentrarchus labrax*. Helgoland Marine Research, 66(2): 199-209.
- Dahm R., Schonthaler H.B., Soehn A.S., van Marle J., Vrensen G.F.J.M. 2007. Development and adult morphology of the eye lens in the zebra fish. Experimental Eye Research, 85: 74-89.

- Darwish S.T., Mohalal M.E., Helal M.M., El-Sayyad H.I.H. 2015. Structural and functional analysis of ocular regions of five marine teleost fishes (*Hippocampus hippocampus*, *Sardina pilchardus*, *Gobius niger*, *Mullus barbatus* & *Solea solea*). Egyptian Journal of Basic and Applied Sciences, 2: 159-166.
- Hunt D.E., Rawlinson N.J.F., Thomas G.A., Cobcroft J.M. 2015. Investigating photoreceptor densities, potential visual acuity, and cone mosaics of shallow water, temperate fish species. Vision Research, 111: 13-21.
- Hussianzadeh Z., Shabanipoor N., Jorjani E., Golzarianpoor K., Bouzarpoor S. 2015. Structure and arrangement of photoreceptors in the retina of Clupeidae (*Alosa braschnikowi*). Physiology and Aquatic Biotechnology, 2(4): 83-99. (In Persian).
- Iwamatsu T. 2004. Stages of normal development in the medaka *Oryzias latipes*. Mechanisms of Development, 121(7-8): 605-618.
- Kawamura G., Bagarinao T., Justin J., Chen C.Y., Lim L.S. 2016. Early appearance of the retinal tapetum, cones, and rods in the larvae of the African catfish *Clarias gariepinus*. Ichthyological Research, 63(4): 536-539.
- Kawamura G., Washiyama N. 1989. Ontogenetic changes in behaviour and sense organ morphogenesis in largemouth bass and *Tilapia nilotica*. Transactions of the American Fisheries Society, 118(2): 203-213.
- Khalili H., Shabanipour N., Pournajafizadeh F. 2014. Structure and arrangement of photoreceptors in the retina of big eye kilka, *Clupeonella grimmi* (Kessler 1877). Caspian Journal of Environmental Sciences, 12(1): 53-62.
- Khorshidsedehi S., Shabanipoor N. 2019. The survey of cellular sequence of the retina structure of the *Acipenser stellatus*. Journal of Animal Research, in Press. (In Persian).
- Kimmel C.B., Ballard W.W., Kimmel S.R., Ullmann B., Schilling T.F. 1995. Stages of Embryonic Development of the Zebra fish. Developmental Dynamics, 203: 253-310.
- Kitambi S.S., Malicki J.J. 2008. Spatiotemporal Features of Neurogenesis in the Retina of Medaka, *Oryzias latipes*. Developmental Dynamics, 237: 3870-3881.
- Kunz--Ramsay Y. 2004. Developmental Biology of Teleost Fishes. Fish and Fisheries Series, Springer Netherlands. 636 P.
- Miller T.J., Crowder L.B., Rice J.A. 1993. Ontogenetic changes in behavioural and histological measures of visual acuity in three species of fish. Environmental Biology of Fishes, 37: 1-8.
- Patimar R., Ezzati M., Sarli J. 2010. Life-history aspects of Caspian shemaya *Alburnus chalcoides* in two South Caspian rivers (Siahroud and Gorganroud). Turkish Journal of Fisheries and Aquatic Sciences, 10: 277-285.
- Schmitt E.A., Dbwling J.E. 1994. Early Eye Morphogenesis in the Zebra fish, *Brachydanio rerio*. The Journal of Comparative Neurology, 344: 532-542.

- Shabanipoor N., Khorshidsedehi S. 2017. The survey of cellular sequence of the retina structure of the Beluga Sturgeon eye (*Huso huso*). Journal of Animal Research, 29(4): 435-441. (In Persian).
- Shadrina A.M., Pavlov D.S. 2015. Embryonic and Larval Development of the Asian Seabass *Lates calcarifer* (Pisces: Perciformes: Latidae) under thermostatically controlled conditions. Biology Bulletin, 42(4): 334-346.
- Shand J., Doving K.B., Collin S.P. 1999. Optics of the developing fish eye: comparisons of Matthiessen's ratio and the focal length of the lens in the black bream *Acanthopagrus butcheri* (Sparidae, Teleostei). Vision Research, 39: 1071-1078.
- Thepot V., Jerry D.R. 2015. The effect of temperature on the embryonic development of barramundi, the Australian strain of *Lates calcarifer* (Bloch) using current hatchery practices Aquaculture Reports, 2: 132-138.
- Wanga F.Y., Tang M.Y., Yan H.Y. 2011. A comparative study on the visual adaptations of four species of moray eel. Vision Research, 51(9): 1099-1108.
- Yahaya S., Lim L.S., Shaleh S.R.M., Mukai Y., Anraku K. and Kawamura G. 2011. Ontogenetic eye development and related behavioural changes in larvae and juveniles of barramundi *Lates calcarifer* (Bloch). Marine and Freshwater Behaviour and Physiology, 44(6): 339-348.
- Zaunreiter M., Junger H., Koixschal K. 1991. Retinal Morphology of Cyprinid Fishes: A Quantitative Histological Study of Ontogenetic Changes and Interspecific Variation. Vision Research, 31(3): 383-394.

